**TOM 57** 

МАЙ, 2014

выпуск 2

## ИЗМЕНЕНИЯ БЛЕСКА И ЦВЕТА ЗВЕЗДЫ ПРИ ЕЕ ЗАТМЕНИИ ПРОТОПЛАНЕТОЙ

#### Я.Н.ЧХИКВАЛЗЕ

Поступила 24 ноября 2014 Принята к печати 19 февраля 2014

Исследованы особенности изменения блеска цвета звезды при ее экранировании газопылевой протогланетой на основе соотношения (1). При довольно общем случае, предполагая лишь то,что  $\tau(x,y) \in [0,\tau^{max}]$ , показано следующее. В минимумах блеска отношение ( $\Delta m_1^{max} - \Delta m_1^{max})/\Delta m_1^{max}$  уменьшается по мере роста  $\Delta m_1^{max}$ . Область возможного расположения точек из множества  $\{E_1; E_2\}$  на диаграмме  $E_2$  vs  $E_1$  локализована внутри довольно узкой параллелограммы с большой диагональю, описываемой соотношением (10). Если  $\tau(x,y) = \tau^{max} \sqrt{1-(x^2+y^2)/R^2}$ , то искомую функцию  $E_2$  vs  $E_1$  практически можно представить соотношением (10). Расчетные зависимости "блеск-цвет" показывают принципиальные отличия от закона межзвездного поглошения. Если придерживаться мнения о том, что в Ae/Be звездах Хербига с падением блеска рост показателей цвета происходит линейно, т.е ( $\Delta m_2 - \Delta m_1)/\Delta m_1$  = const и, что значение указанного отношения не зависит от глубины затмения, то можно прийти к выводу, что алголеподобное изменение блеска Ae/Be звезд Хербига невозможно объяснить в рамках модели затмения протопланетой.

Ключевые слова: звезда:особенности изменения блеска:экранирование протопланетой

1. Введение. Большинство современных теорий образования Солнечной системы постулирует, что Солнце в ранней стадии эволюции было окружено пылевой дискообразной протопланетной туманностью, в которой сформировались планеты и другие твердые тела. Некоторые данные позволяют думать, что материал планет Земной группы проходил шаг за шагом иерархию планетозимальных размеров от пылинок до планет [1].

Однако многие авторы считают, что формирование планет-гигантов легче объяснить одноступенчатым коллапсом непосредственно из газа и пыли, при котором образовались тела планетных или еще больших размеров. Предполагается, что определяющим процессом является гравитационная неустойчивость газопылевого диска; она вызывает коллапс с образованием объектов с массой равной или превышающей массы планет [2,3]. Обычно такие огромные образования называют протопланетами. Результаты космической программы "Кеплер" и специальная программа по поиску планет около звезд показывают, что концепция образования крупномасштабных протопланет имеет реальную основу.

Таким образом, можно предположить, что вокруг звезд раннего возраста,

какими являются Ae/Be звезды Хербига, могут существовать протопланеты. Венцел [4] был первым, указавшим на то, что алголеподобные падения блеска некоторых Ae/Be звезд Хербига могут происходить в процессе затмения звезды, вращающейся вокруг нее газопылевой протопланетой.

В настоящей работе представлены результаты моделирования процесса изменения блеска и цвета звезды в ходе ее экранирования протопланетой.

2.1. Основные соображения. Рассмотрим следующее соотношение, описывающее падение блеска звезды при ее экранировании газопылевой протопланетой, которое было получено нами ранее [5]:

$$E_{\lambda} = 1 - \frac{s}{s_0} + \iint e^{-\rho \tau_{\lambda}(x, y)} ds / s_0, \qquad (1)$$

где  $E_{\lambda}$  - нормированное значение потока излучения звезды, когда протопланета затмевает часть поверхности звезды, равную s, а  $s_0$  - полная видимая площаль диска звезды. Координатная система XYZ связана с центром протопланеты. Движение происходит в плоскости XZ, а наблюдатель находится в направлении оси Z.  $M(\xi,0)$  - координата переднего края диска звезды, а  $\tau_{\lambda}(x,y)$  - полная (поглощение + рассеяние) оптическая толщина. Вещество протопланеты по своим свойствам похоже на межзвездное. Протопланета имеет форму сферы радиусом R, равным звездному. Считается, что поверхностная яркость звезды - постоянная величина, а рассеяние вперед пренебрежимо мало.

2.2. Зависимость  $E_2$  от  $E_1$ . Для упрощения записи индексами 1 и 2 обозначим те или иные величины на длинах волн  $\lambda_1$  и  $\lambda_2$ . Задача заключается в установлении свойств искомой функции  $E_1$ vs  $E_1$ . Вначале исследуем свойства минимумов блеска на основе следующего соотношения:

$$E_{\lambda}^{min} = \int_{1}^{s_0} e^{-\rho \tau_{\lambda}(x, y)} ds/s_0, \qquad (2)$$

где параметр  $p \in [0, \infty)$ . Необходимо отметить, что для удобства величины  $\tau(x, y)$  считаются фиксированными, а вариация оптической толщины осуществляется параметром p. Если заменить интеграл суммой:  $E_{\lambda}^{min} = \sum_{i=1}^{n} \Delta s_{i} e^{-\tau_{i}} / \sum_{i=1}^{n} \Delta s_{i}$ , то из неравенства Иенсена [6] следует,

$$E_2^{min} > (E_1^{min})^t$$
, rge  $t = \tau_2(x, y)/\tau_1(x, y) > 1$ . (3)

Из соотношения (3) следует, что

$$m_2^{min} < tm_1^{min}$$
, rge  $m^{min} = -2.5\log E^{min}$ . (4)

Производная  $dm_2^{min}/dm_1^{min}$  определяется следующим образом:

$$t\left\{\left[\iint_{0}^{s_{0}}e^{-\rho t\tau_{1}}\tau_{1}\,ds\middle/\iint_{0}^{s_{0}}e^{-\rho t\tau_{1}}ds\right]\middle/\left[\iint_{0}^{s_{0}}e^{-\rho \tau_{1}}\tau_{1}\,ds\middle/\iint_{0}^{s_{0}}e^{-\rho \tau_{1}}ds\right]\right\},\tag{5}$$

где  $\tau_1 = \tau_1(x, y)$ . Так как соотношение (5) положительная величина, то

 $m_2^{min}$  vs  $m_1^{min}$  должна быть монотонно возрастающей функцией. Очень важно, что

$$dm_2^{min}/dm_1^{min} \rightarrow t$$
, когда  $p \rightarrow 0$ . (6)

С другой стороны, используя неравенство Иенсена [6], нетрудно показать, что производная по t отношения  $\left(\iint e^{-pt\tau_1}\tau_1\,ds\middle/\iint e^{-pt\tau_1}ds\right)<0$ , поэтому величина в фигурных скобках (5) меньше единицы и следовательно

$$dm_2^{\min}/dm_1^{\min} < t. \tag{7}$$

Рассмотрим варианты:  $dm_2^{min}/dm_1^{min} \ge 0$  и меньше нуля. Положительность второй производной означает, что  $m_2^{min}$  vs  $m_1^{min}$  выпуклая функция. Другими словами, отношение  $m_2^{min}/m_1^{min}$  будет увеличиваться по мере роста глубины затмения, но будут нарушены условия (4), (6) и(7). Условия (4), (6) и (7) нарушаются и в том случае, когда вторая производная равна нулю. Итак, должно выполняться условие отрицательности второй производной, означающее, что  $m_2^{min}$  будет вогнутой (выпуклой вверх) функцией.

Производная искомой функции определяется соотношением [8] и она положительная,

$$\frac{d(1-E_2)}{d(1-E_1)} = \frac{1-e^{-\rho\tau_1(\xi,0)}}{1-e^{-\rho\tau_1(\xi,0)}} > 0,$$
(8)

поэтому  $(1-E_1)$  vs $(1-E_1)$  будет монотонно возрастающей функцией. Знак второго производного  $d^2(1-E_2)/d(1-E_1)^2$  можно определить из соотношения (9).

Sign 
$$\frac{d^2(1-E_2)}{d(1-E_1)^2} = \frac{d\tau_1(\xi,0)}{ds} \left[ t \frac{e^{-\rho\tau_2(\xi,0)}}{e^{-\rho\tau_1(\xi,0)}} - \frac{1-e^{-\rho\tau_2(\xi,0)}}{1-e^{-\rho\tau_1(\xi,0)}} \right].$$
 (9)

Величина в квадратных скобках всегда отрицательна и поэтому, когда производная  $\tau_1(x,y)$  отрицательна, тогда искомая функция будет выпуклой (выпуклой вниз). Когда производная  $\tau_1(x,y)$  положительна, то искомая функция будет вогнутой (выпуклой вверх), а при условии равности нулю, искомая функция будет иметь перегиб.

Не конкретизируя особенности распределения  $\tau(x,y)$ , определим ту часть диаграммы  $E_2$  vs  $E_1$ , в которой могут располагаться точки из множества  $\{E_1; E_2\}$ , допустим лишь то, что значения, принимаемые  $\tau(x,y)$ , заключены в интервале  $[0,\tau^{max}]$ . При таком допущении производная искомой функции как в начале затмения, так и в момент полного затмения может принять значения между t и  $(1-e^{-pt\tau_1^{max}})/(1-e^{-p\tau_1^{max}})$ .

На рис.1 прямая OB соединяет две точки графика искомой функции: начало затмения и момент достижения минимума. Угловой коэффициент прямой OB равен  $(1-E_2^{min})/(1-E_1^{min})$  и его значение уменьшается с ростом

глубины затмения.

Нетрудно понять, что график искомой функции должен располагаться внутри параллелограмма OABC, сторонами которой являются касательные прямые, проведенные из точек O и B с экстремальными значениями угловых коэффициентов, указанными выше. В случае  $d \tau(\xi, 0)/ds > 0$ , график искомой функции должен располагаться выше прямой OB, а при условии  $d \tau(\xi, 0)/ds < 0$  - ниже. В случае  $d \tau(\xi, 0)/ds = 0$  искомая функция будет

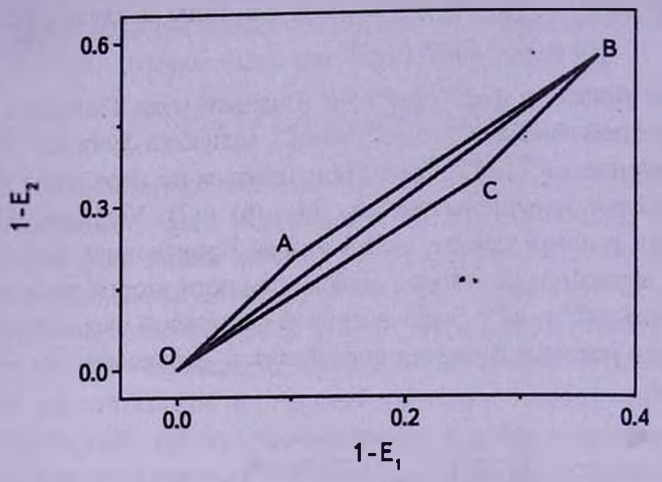


Рис.1. Область возможного расположения точек из множества  $\{E_1; E_2\}$ .

иметь перегиб и график пересечет прямую OB. При выполнении условия  $d\tau(\xi,0)/ds=0$  несколько раз, искомая функция во столько же раз будет иметь перегиб и пересечение с прямой OB. Оценки ширины параллелограмма OABC показали, что отклонение точек A и C от прямой OB при t=2 и  $\tau_1^{max}=1$  порядка 0.04, а при t=1.3 и  $\tau_1^{max}=1$  оно порядка 0.01.

2.3. Модель с центральной симметрией. Можно предположить, что наиболее правдоподобным дожно быть допущение о том, что плотность материи внутри протопланеты более или менее постоянная величина. В таком случае оптическая толщина протопланеты максимальна в центре и постепенно уменьшается к ее краям т. е.  $\tau(x,y) = \tau^{max} \sqrt{1-(x^2+y^2)/R^2}$ . Минимальное значение блеска при этом определяется из следующего выражения:  $E^{min} = 2[1-e^{-\tau}(1+\tau)]/\tau^2$ , где  $\tau = \tau^{max}$ . О характере искомой функции было сказано выше: вначале она вогнутая, затем пересекает прямую OB и после перегиба становится выпуклой, но расчеты путем численного интегрирования соотношения (1) при таком допущении показали, что график искомой функции незначительно отклоняется от прямой OB: при t=1.3 и  $\tau_1^{max}=1$  максимальное отклонение от прямой OB порядка 0.001. Таким образом, мы приходим к выводу, что искомую зависимость  $E_2$  vs  $E_1$ , практически можно представить следующим соотношением:

$$E_2 = fE_1 - f + 1$$
, rhe  $f = (1 - E_2^{min})/(1 - E_1^{min})$ . (10)

На рис.2 представлены результаты расчетов на основе соотношения(10), иллюстрирующие зависимости изменения показателя цвета от блеска при различных глубинах затмения. Модельные зависимости принципиально отличаются от закона стандартного межзвездного покраснения: во-первых, расчетные зависимости нелинейные, и во-вторых, с ростом глубины затмения происходит их сдвиг вправо и вниз.

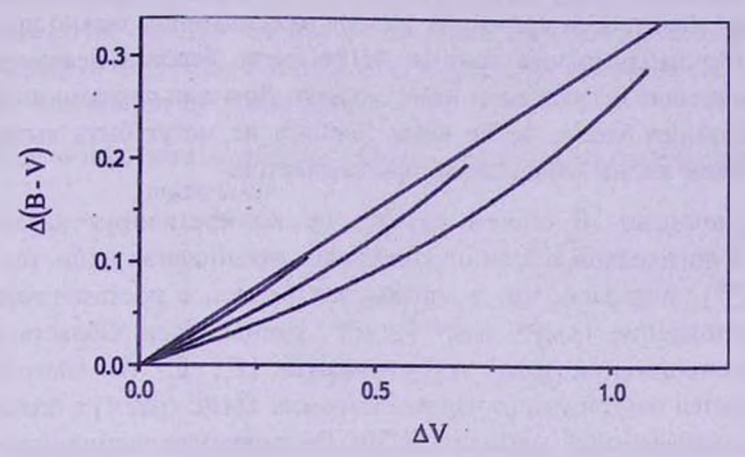


Рис. 2. Зависимость показателя цвета от блеска. Прямая линия - межзвездное покраснение.

3. Сравнение с наблюдениями. Ае/Ве звезды Хербига по характеру изменения показателя цвета делятся на два класса. В первом из них, с падением блеска, показатели цвета звезд все время монотонно увеличиваются (класс R), а у звезд класса CR, с паденим блеска до определенного значения показатели цвета сперва монотонно растут и при дальнейшем понижении блеска показатели цвета уменьшаются [7]. Впервые эффект поворота цветового трека был описан в работах [8-10]. Некоторые авторы указывают на то, что монотонное увеличение показателей цвета происходит почти по закону межзвездного покраснения [7-14]. Особенно следует отметить, что нам не удалось найти указание на то, что градиенты роста покзателя цвета изменяются при затмениях звезды с различными минимумами. Рассмотрение рис.1-9 [7] показывает, что монотонное увеличение показателей цвета  $\Delta(b-y)$ в звездах класса R более уверенно можно аппроксимировать линейным законом, чем иным. С целью получения более правдоподобного заключения рассмотрим подробно V586 Ori. По данным наблюдения в системе Стремгрена V586 Огі находился в минимумах с глубиной 0<sup>™</sup>.8 и 1<sup>™</sup>.2, соответственно [7]. На рис.6 [7] 95% точек до  $\Delta y = 0^{m}.8$  и после указанного значения равномерно распределены около прямой с угловым коэффициентом, равным ~0.19 внутри полосы с шириной порядка 0<sup>m</sup>.03. Наблюдения V586Ori в системе Стремгрена были произведены нами почти синхронно с наблюдениями [7]. По методике предложенной нами, были получены максимально правдоподобные оценки коэффициентов линейной зависимости между значениями изменения блеска на различных длинах волн [14]. К примеру,  $\Delta b = 1.187\Delta$  у $\pm$ 0.0013, а погрешности остальных коэффициентов имеют тот же порядок. Высокие точности оценок показывают, что изменение блеска V586Ori происходит по закону нормального межзвездного покраснения, и что особенно важно,  $\Delta (m_2-m_1)/\Delta m_1$  остается постоянным при затмениях с различными значениями минимума. Исходя из сказанного, можно прийти к выводу, что наблюдаемые данные Ae/Be звезд Хербига невозможно объяснить в рамках исследуемой нами модели. Другими словами алголеподобные падения блеска Ae/Be звезд Хербига не могут быть вызваны экранированием звезды газопылевой протопланетой.

4. Заключение. В общем случае, не конкретизируя характер зависимости оптической толши от координат, предполагая лишь то, что  $\tau(x,y) \in [0,\tau^{max}]$ , показано, что в минимумах блеска, с ростом глубины затмения, отношение  $\left(\Delta m_2^{min} - \Delta m_1^{min}\right) / \Delta m_1^{min}$  уменьшается. Область возможного расположения точек из множества  $\{E_1; E_2\}$  на диаграмме  $E_2$  vs  $E_1$  находится внутри узкого параллелограмма OABC (рис.1) с большой диагональю, описываемой уравнением (10). Рассмотрение частного случая, когда  $\tau(x,y) = \tau^{max} \sqrt{1 - (x^2 + y^2)/R^2}$  показало, что искомую зависимость  $E_2$  vs  $E_1$  практически можно представить в виде уравнения (10). Расчетные зависимости изменения показателя цвета от блеска (рис.2) показывают принципиальное отличие от закона межзвездного поглощения. Сделан вывод о том, что алголеподобное падение блеска Ae/Be звезд Хербига не может быть вызвано экранированием звезды газопылевой протопланетой.

Абастуманская астрофизическая обсерватория им. Е.Харадзе, Грузия, e-mail: iakobch@yahoo.com

# STAR'S BRIGHTNESS AND COLOUR VARIATION DUE TO OBSCURATION BY THE PROTOPLANET

### I.N.CHKHIKVADZE

Dependence between brightness and colour during star obscuration by gas-dust protoplanet on the basis of relation (1) are considered. In general case, supposse that  $\tau(x, y) \in [0, \tau^{max}]$  following has been shown. In minimums of the brightness

the ratio  $(\Delta m_1^{min} - \Delta m_1^{min})/\Delta m_1^{min}$  decreases when  $\Delta m_1^{min}$  increases. The region of possible disposition of points belonging to the set  $\{E_1; E_2\}$  on the diagramm  $E_2$  vs  $E_1$  is located within the narrow parallelogram OABC: the diagonal OB is presented by equation (10). In particular case when  $\tau(x,y) = \tau^{max} \sqrt{1 - (x^2 + y^2)/R^2}$  the relation  $E_2$  vs  $E_1$  may be presented by equation (10). The behavior of the colour-magnitude relation principally differs from interstellar reddening low. Following the consideration that .in the Herbig Ae/Be stars there is a liner dependence of the colour index on brightness i.e  $(\Delta m_2 - \Delta m_1)/\Delta m_1 = \text{const}$  and later ratio is not depends on the depth of minima it's should be concluded that brightness algollike fading of the Herbig Ae/Be stars can't be explained within the frame model of the obscuration by protoplanet.

Key words: star: dependence between brightness and colour: obscuration by protoplanet

### ЛИТЕРАТУРА

- 1. Р.Гринберг, У.Хартманн, К. Чепмен, Д.Вэкер, Протозвезды и планеты, часть 2, М., Мир, 1982, с.684.
- 2. А.Г.У.Камерон, Протозвезды и планеты, часть 2, М., Мир, 1982, с.516.
- 3. P.Bodenheimer, Icarus, 29, 165, 1976.
- 4. W. Wenzel, Non-periodic Phenomena in Variable Stars, IAU Coll. No.4, ed. L.Detre, Budapest, 1969.
- 5. I.N.Chkhikvadze, Bull. Georgian Acad. Sci., 164, No.2, p.280, 2001.
- 6. Г.М. Фихтенгольц, Курс дифференциального и интегрального исчисления, М., Наука, 1969.
- 7. E.A.Bibo, P.S.The, Astron. Astrophys. Suppl. Ser., 89, 319, 1991.
- 8. Г.В.Зайцева, Перемен. Звезды, 19, 63, 1973.
- 9. А.Ф.Пугач, Астрон. ж., 17, 47, 1981.
- 10. W. Herbst, J.A. Holtzman, B.E. Phelps, Astron. J., 87, 171, 1982.
- 11. A. Evans, J.J. K. Davies, D. Kilkenny, M.F. Bode, Mon. Notic. Roy. Astron. Soc., 215, 537, 1989.
- 12. W. Herbst, J.A. Holtzmann, R.S. Klasky, Astron. J., 88, 1648, 1987.
- 13. H.R.E.Tjin, A.Djie, L.Remijn, P.S.The, Astron. Astrophys., 134, 273, 1984.
- 14. Я.Н. Чхиквадзе, Астрофизика, 47, 5, 2004.

